

3. Цвелодуб О. Ю. Стационарные бегущие волны на пленке, стекающей по наклонной плоскости // Изв. АН СССР. МЖГ. — 1980. — № 4.
4. Демехин Е. А. Ветвление решения задачи о стационарных бегущих волнах в слое вязкой жидкости на наклонной плоскости // Изв. АН СССР. МЖГ. — 1983. — № 3.
5. Демехин Е. А., Шкадов В. Я. О солитонах в диссипативных средах // Гидродинамика и теплообмен течений жидкости со свободными поверхностями: Сб. науч. тр. — Новосибирск: ИТ СО АН СССР. — 1985.
6. Трифонов Ю. Я., Цвелодуб О. Ю. О стационарно бегущих решениях эволюционного уравнения для возмущений в активно-диссипативной среде. — Новосибирск, 1988. — (Препр./ИТ СО АН СССР; 188—88).

г. Новосибирск

Поступила 25/VII 1988 г.,  
в окончательном варианте — 28/II 1989 г.

УДК 532.5

О. С. Рыжов, И. В. Савенков

### ОБ УСТОЙЧИВОСТИ ПОГРАНИЧНОГО СЛОЯ ПРИ ТРАНСЗВУКОВЫХ СКОРОСТЯХ ВНЕШНЕГО ПОТОКА

Концепция свободного взаимодействия пограничного слоя [1—3] оказалась весьма плодотворной в различных областях механики жидкости и газа [4, 5], в том числе в теории гидродинамической устойчивости [6, 7]. Она описывает структуру волн Толлмина — Шлихтинга в пределе больших чисел Рейнольдса и позволяет решить ряд новых задач о восприимчивости вязкого пристеночного подслоя по отношению к трехмерным возмущениям, генерируемым локализованным в пространстве источником [8, 9].

Как известно, однако, теория свободного взаимодействия в своем классическом виде предсказывает устойчивость прямых волн, распространяющихся в направлении набегающего потока, при условии, что его скорость сверхзвуковая. С другой стороны, предложенные к настоящему времени уравнения для трансзвукового диапазона скоростей оказались неприменимыми к решению задач об устойчивости вязких течений, хотя возникновение отрыва с их помощью устанавливается правильно [10]. Очевидно, требуется дополнительный анализ исходной системы уравнений Навье — Стокса в указанном диапазоне с целью сохранить члены, определяющие потерю устойчивости пограничного слоя. Такой анализ излагается ниже.

**1. Уравнения движения.** Рассмотрим обтекание плоской пластинки равномерным потоком сжимаемого газа со скоростью  $U_\infty^*$ , мало отличающейся от скорости  $a_\infty^*$  распространения звуковых волн. Допустим, что на расстоянии  $L^*$  от ее передней кромки имеется локальная неоднородность (шероховатость), течение в окрестности которой соответствует режиму свободного взаимодействия [1—3]. Пусть  $\nu_\infty^*$  — кинематическая вязкость газа. Введем число Рейнольдса  $R = U_\infty^* L^* / \nu_\infty^* \rightarrow \infty$  и выразим через него малый параметр  $\varepsilon = R^{-1/8}$ . Положим  $\delta = (M_\infty^2 - 1) / K_\infty'$ ,  $K_\infty' = \text{const}$  и в дальнейшем считаем  $\delta$  вторым малым параметром, фиксируя тем самым околозвуковой характер набегающего потока с числом Маха  $M_\infty$ , близким к 1. Задача состоит в установлении такой связи между  $\varepsilon$  и  $\delta$ , при которой получающиеся в результате приближенные уравнения были способны описать устойчивость пограничного слоя и развитие в нем самовозбуждающихся колебаний.

В режиме свободного взаимодействия время  $t^*$  и пространственные координаты  $x^*$ ,  $y^*$  нормируются следующим образом [1—3]:

$$(1.1) \quad t^* = (L^*/U_\infty^*) \varepsilon^2 \delta^{-1/4} \beta^{-1} t', \\ x^* = L^* (1 + \varepsilon^3 \delta^{-3/8} x'), \quad y^* = L^* \varepsilon^5 \delta^{-1/8} y',$$

где дополнительный параметр  $\beta$  определяется масштабом частоты, а компоненты  $u^*$ ,  $v^*$  и давление  $p^*$  раскладываются в асимптотические последовательности

$$(1.2) \quad u^* = U_\infty^* [\varepsilon \delta^{-1/8} u'(t', x', y') + \dots], \\ v^* = U_\infty^* [\varepsilon^3 \delta^{1/8} v'(t', x', y') + \dots], \quad p^* = p_\infty^* + \rho_\infty^* U_\infty^{*2} [\varepsilon^2 \delta^{-1/4} p'(t', x', y') + \dots].$$

© 1990 Рыжов О. С., Савенков И. В.

5 ПМТФ № 2, 1990 г.

65

Поскольку давление поперек пограничного слоя не изменяется, отношение  $T_w^*/T_\infty^*$  температуры  $T_w^*$  стенки к температуре  $T_\infty^*$  набегающего потока обратно пропорционально отношению  $\rho_w^*/\rho_\infty^*$  аналогичных значений плотности  $\rho^*$ . С учетом этого обстоятельства уравнения для нижней пристеночной области течения приобретают вид

$$(1.3) \quad \frac{\partial w'}{\partial x'} + \frac{\partial v'}{\partial y'} = 0, \quad \frac{\partial p'}{\partial y'} = 0,$$

$$\left(\frac{T_w^*}{T_\infty^*}\right)^{-1} \left( \beta \frac{\partial u'}{\partial t'} + u' \frac{\partial u'}{\partial x'} + v' \frac{\partial u'}{\partial y'} \right) = - \frac{\partial p'}{\partial x'} + C \frac{T_w^*}{T_\infty^*} \frac{\partial^2 u'}{\partial y'^2}.$$

В отличие от классических уравнений Прандтля градиент давления здесь неизвестен заранее и вычисляется вместе с полем скоростей. Для простоты пластинка принята термически изолированной, буквой  $C$  обозначена постоянная в законе Чепмена  $\lambda_w^*/\lambda_\infty^* = CT_w^*/T_\infty^*$ , связывающем первый коэффициент вязкости  $\lambda^* = \nu^*\rho^*$  с температурой.

Во внешней области свободного взаимодействия эффекты вязкости и теплопроводности в первом приближении пренебрежимо малы, в силу чего течение в ней безвихревое. Поперечную координату в этой области нормируем посредством  $y^* = L^*\varepsilon^3\delta^{-7/8}y'_1$ , а для потенциала  $\varphi^*$  напомним разложение

$$(1.4) \quad \varphi^* = U_\infty^*L^*[x' + \varepsilon^3\delta^{-5/8}\varphi_1'(t', x', y') + \dots].$$

Ограничив дальнейший анализ неравенством  $\varepsilon\delta^{-1/8} \ll 1$  и отбросив в исходных уравнениях Навье — Стокса заведомо малые члены, имеем

$$(1.5) \quad 2\beta \frac{\partial^2 \varphi_1'}{\partial t' \partial x'} + \varepsilon^{-1}\delta^{1/8} \left( \delta K'_\infty + 2\varepsilon^2\delta^{-1/4} \frac{\partial \varphi_1'}{\partial x'} \right) \frac{\partial^2 \varphi_1'}{\partial x'^2} + \varepsilon^{-1}\delta^{9/8} \frac{\partial^2 \varphi_1'}{\partial y_1'^2} = 0.$$

Попытка сохранить здесь все слагаемые ведет к оценкам  $\delta \sim \varepsilon^{8/5}$  и  $\beta \sim \varepsilon^{4/5}$ , но тогда исчезает член с  $\partial u'/\partial t'$ , входящий в левую часть последнего из уравнений (1.3). Формулируемая в результате асимптотическая теория нестационарных трансзвуковых течений правильно предсказывает отрыв пограничного слоя, но непригодна для изучения его устойчивости, поскольку ведущая роль в развитии волновых процессов принадлежит в этом случае внешней области, где поле скоростей потенциально [10].

Альтернативный подход определяется равенством  $\beta = 1$ . Отсюда следует  $\delta \sim \varepsilon^{8/9}$ , что вызывает необходимость пренебречь нелинейным членом  $(\partial \varphi_1'/\partial x')(\partial^2 \varphi_1'/\partial x'^2)$  в уравнении (1.5), учет которого составляет сердцевину теории стационарного движения газа в околосзвуковом диапазоне скоростей, если влияние диссипативных факторов (вязкости и теплопроводности) полагается несущественным. Выбрав для простоты  $\delta = \varepsilon^{8/9}$ , в пределе  $\varepsilon \rightarrow 0$  запишем линейное уравнение

$$(1.6) \quad 2 \frac{\partial^2 \varphi_1'}{\partial t' \partial x'} + K'_\infty \frac{\partial^2 \varphi_1'}{\partial x'^2} - \frac{\partial^2 \varphi_1'}{\partial y_1'^2} = 0$$

с параметром  $K'_\infty = (M_\infty^2 - 1)/\varepsilon^{8/9}$ .

Хотя основной толще пограничного слоя в теории свободного взаимодействия отводится пассивная роль, она используется в процедуре сращивания решений для вязкого пристеночного подслоя и потенциальной области потока. Предельный переход, в котором  $y'_1 \rightarrow 0$ , а  $y' \rightarrow \infty$ , дает

$$(1.7) \quad \frac{\partial \varphi_1'(t', x', 0)}{\partial x'} = -P'(t', x'), \quad \frac{\partial \varphi_1'(t', x', \infty)}{\partial y_1'} = -\frac{\partial A'(t', x')}{\partial x'},$$

$u' - \lambda C^{-1/2}(T_w^*/T_\infty^*)y' \rightarrow \lambda C^{-1/2}(T_w^*/T_\infty^*)A'$  при  $y' \rightarrow \infty$ .

Здесь функция  $A'(t', x')$  имеет смысл мгновенного смещения линий тока в промежуточной области течения, постоянная  $\lambda = 0,3321$  характеризует

безразмерное трение в решении Блазиуса для невозмущенного пограничного слоя.

Опираясь на групповые свойства уравнений (1.3), (1.6) и условий срачивания (1.7), исключим содержащиеся в них константы  $C$ ,  $\lambda$  и отношение  $T_w^*/T_\infty^*$ . С этой целью совершим аффинное преобразование

$$(1.8) \quad t' = 2^{-2/9} C^{2/9} \lambda^{-14/9} (T_w^*/T_\infty^*)^{8/9} t, \quad x' = 2^{-3/9} C^{1/3} \lambda^{-4/3} (T_w^*/T_\infty^*)^{4/3} x, \\ y' = 2^{-1/9} C^{11/18} \lambda^{-7/9} (T_w^*/T_\infty^*)^{13/9} y, \quad y_1' = 2^{-7/9} C^{5/18} \lambda^{-13/9} (T_w^*/T_\infty^*)^{10/9} y_1$$

независимых переменных (1.1) и поперечной координаты  $y_1'$  для потенциальной части потока. Что касается искомых функций, входящих в (1.2), (1.4), и толщины вытеснения  $A'$  из (1.7), преобразования для них гласят

$$(1.9) \quad u' = 2^{-1/9} C^{1/9} \lambda^{2/9} (T_w^*/T_\infty^*)^{4/9} u, \quad v' = 2^{1/9} C^{7/18} \lambda^{7/9} (T_w^*/T_\infty^*)^{5/9} v, \\ p' = 2^{-2/9} C^{2/9} \lambda^{4/9} (T_w^*/T_\infty^*)^{-1/9} p,$$

$$A' = 2^{-1/9} C^{11/18} \lambda^{-7/9} (T_w^*/T_\infty^*)^{13/9} A, \quad \varphi_1' = 2^{-5/9} C^{5/9} \lambda^{-8/9} (T_w^*/T_\infty^*)^{11/9} \varphi_1.$$

В результате система уравнений

$$(1.10) \quad \frac{\partial u}{\partial x} + \frac{\partial v}{\partial y} = 0, \quad \frac{\partial p}{\partial y} = 0, \\ \frac{\partial u}{\partial t} + u \frac{\partial u}{\partial x} + v \frac{\partial u}{\partial y} = -\frac{\partial p}{\partial x} + \frac{\partial^2 u}{\partial y^2},$$

управляющая течением в вязком пристеночном подслое, вместе с предельными условиями

$$(1.11) \quad u \rightarrow y, \quad p \rightarrow 0 \quad \text{при} \quad x \rightarrow -\infty, \quad u - y \rightarrow A(t, x) \quad \text{при} \quad y \rightarrow \infty$$

приобретает канонический вид, не зависящий от исходных параметров задачи. Подобие внешнего поля скоростей, потенциал  $\varphi_1$  которого удовлетворяет уравнению

$$(1.12) \quad \frac{\partial^2 \varphi_1}{\partial t \partial x} + K_\infty \frac{\partial^2 \varphi_1}{\partial x^2} - \frac{\partial^2 \varphi_1}{\partial y_1^2} = 0,$$

определяется единственным отличным от  $\pm 1$  коэффициентом

$$(1.13) \quad K_\infty = 2^{-8/9} C^{-1/9} \lambda^{-2/9} (T_w^*/T_\infty^*)^{-4/9} (M_\infty^2 - 1) / \varepsilon^{8/9},$$

поскольку краевые условия для него записываются как

$$(1.14) \quad \frac{\partial \varphi_1(t, x, 0)}{\partial x} = -p(t, x); \quad \frac{\partial \varphi_1(t, x, 0)}{\partial y_1} = -\frac{\partial A(t, x)}{\partial x}.$$

**2. Задача на собственные значения.** Начнем с внутренних волн в рассматриваемой механической системе, состоящей из вязкого пристеночного подслоя и потенциального течения. С этой целью предельные соотношения (1.11) для системы уравнений (1.10) дополним условиями

$$(2.1) \quad u = v = 0 \quad \text{при} \quad y = 0$$

прилипания газа к поверхности пластинки. В результате получается замкнутая задача, куда входит также уравнение (1.12) вместе с краевыми условиями (1.14), содержащими неизвестную заранее функцию  $A(t, x)$ .

Выделим в решении часть  $u = y$ ,  $v = p = A = \varphi_1 = 0$ , описывающую сдвиговой поток у пластинки, а наложенные на него колебания будем считать пропорциональными амплитудному параметру  $a$ . Далее, как обычно, положим

$$(2.2) \quad (u - y, v, p, A, \varphi_1) = a(u_0, v_0, p_0, A_0, \varphi_0) \exp(\omega t + ikx).$$

Подставляя (2.2) в уравнения для вязкого пристеночного подслоя и переходя к пределу по  $a \rightarrow 0$ , получим систему обыкновенных дифференциальных уравнений, интегрирование которой с учетом (2.1) дает [6,7]

$$\Phi(\Omega) = (ik)^{1/3} p_0 / A_0, \\ \Phi = \frac{d \text{Ai}(\Omega)}{d\zeta} \left[ \int_{\Omega}^{\infty} \text{Ai}(\zeta) d\zeta \right]^{-1}, \quad \Omega = \omega (ik)^{-2/3}$$

( $\text{Ai}(\zeta)$  — функция Эйри, экспоненциально затухающая в секторе  $-\pi/3 < \arg \zeta < \pi/3$ ).

Отношение  $p_0/A_0$  устанавливается из решения задачи (1.12), (1.14) для верхней потенциальной области течения, оно выражает связь между избыточным давлением и толщиной вытеснения в трансзвуковом диапазоне скоростей. Легко видеть, что  $p_0/A_0 = k^2/\lambda(\omega, k)$ ;  $\lambda = \sqrt{ik(\omega + ikK_\infty)}$ , причем  $\text{Re} \lambda \geq 0$  в силу требования о вырождении возмущений при  $y_1 \rightarrow \infty$ ,  $x = \text{const}$ .

Специфика рассматриваемого диапазона состоит в том, что члены с производными по времени входят как в систему (1.10) для вязкого пристеночного подслоя, так и в уравнение (1.12), которое управляет развитием внешних потенциальных колебаний. Структура возникающих волн формируется в результате взаимодействия двух существенно нестационарных полей, из которых только нижнее вихревое. Давление не только индуцируется ростом или уменьшением толщины вытеснения и, в свою очередь, активно влияет на ее изменения, но служит также решающим фактором в передаче сигналов во внешней области. Это обстоятельство находит свое отражение в том, что условие свободного взаимодействия, как и правая часть вытекающего из него дисперсионного соотношения

$$(2.3) \quad \Phi(\Omega) = Q(\omega, k), \quad Q = -(ik)^{7/3}/\lambda(\omega, k)$$

явно зависит от частоты  $\omega$ . Подобная ситуация не встречалась ранее в асимптотическом анализе, опирающемся на многослойное деление зоны возмущенного движения вязкой жидкости, включая до- и сверхзвуковой пограничные слои [6, 7].

**3. Дисперсионное соотношение.** Начнем с замечания, что при любом  $k \rightarrow 0$  все решения  $\Omega$  дисперсионного соотношения можно фиксировать посредством  $\Omega \rightarrow \Omega_n^{(0)}$  ( $\Omega_n^{(0)}$  —  $n$ -й корень производной  $d\text{Ai}(\Omega)/d\zeta$ ). Следовательно, дисперсионное соотношение определяет счетный набор дисперсионных кривых  $\omega_n = (ik)^{2/3}\Omega_n$ , при этом в пределе малых волновых чисел они ведут себя как аналогичные кривые для до- и сверхзвукового пограничных слоев [6, 7].

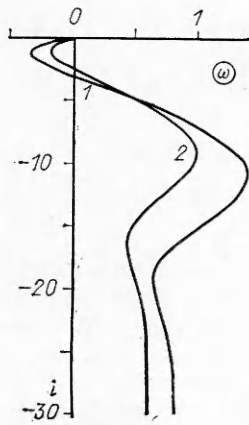
Пусть теперь  $k$  в правой части (2.3) принимает действительные значения, причем в силу симметрии этого соотношения достаточно ограничиться полуосью  $k > 0$ . Чтобы найти частоту нейтральных колебаний газа с постоянной во времени амплитудой, положим  $\omega = -i\omega_0$ , где  $\omega_0$  — вещественное число. Подразумевая под  $D = \omega_0 - kK_\infty$ , из равенства  $\arg Q(-i\omega_0, k) = \begin{cases} \pi/6 & \text{при } D > 0, \\ -\pi/3 & \text{при } D < 0 \end{cases}$  заключаем сразу, что дисперсионное соотношение в указанном случае допускает единственное решение, удовлетворяющее системе

$$\omega_0 k^{-2/3} = \omega'_* (k'_*)^{-2/3}, \quad k^{7/3}/\sqrt{k(\omega_0 - kK_\infty)} = (k'_*)^{4/3}$$

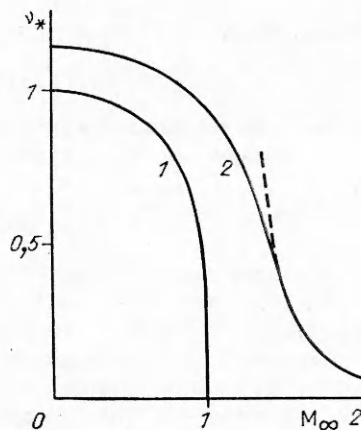
( $\omega'_* = 2,298$  и  $k'_* = 1,0005$  — соответственно частота и волновое число нейтральных колебаний пограничного слоя в несжимаемой жидкости [6, 7]). Асимптотики решения  $\omega_0 = \omega_*(K_\infty)$ ,  $k = k_*(K_\infty)$  этой системы имеют вид

$$(3.1) \quad \begin{aligned} \omega_* &= \omega'_* |K_\infty|^{1/4}, & k_* &= k'_* |K_\infty|^{3/8} & \text{при } K_\infty \rightarrow -\infty, \\ \omega_* &= k_* K_\infty, & k_* &= k'_* (\omega'_*/(k'_* K_\infty))^3 & \text{при } K_\infty \rightarrow \infty. \end{aligned}$$

Дальнейший анализ (2.3) базируется на итерационном методе Ньютона, при помощи которого вычислялись корни  $\Omega_n(k)$ ; в качестве начального приближения для них при  $k \ll 1$  выбирались величины  $\Omega_n^{(0)}$ . Все корни  $\Omega_n$ , начиная со второго, дают устойчивые колебания:  $\text{Re} \omega_n(k) \leq 0$  для любых вещественных  $k$  и  $n \geq 2$ . Первый же корень  $\Omega_1$  порождает дисперсионную кривую  $\omega_1(k)$ , которая при  $k = k_*$  пересекает отрицательную мнимую полуось в точке  $\omega_1 = -i\omega_*$ , соответствующей нейтральным пульса-



Р и с. 1



Р и с. 2

циям. Возмущения становятся неустойчивыми при  $k > k_*$ , когда  $\text{Re}\omega_1(k) > 0$ . Траектории этого корня в комплексной плоскости  $\omega$  показаны на рис. 1 для  $K_\infty = -1$  (1) и 1 (2).

В качественном отношении ход обеих кривых напоминает тот, какой получается для пограничного слоя в несжимаемой жидкости [6, 7], однако есть и существенное различие. В самом деле, инкремент  $\text{Re}\omega_1$ , характеризующий усиление волн Толлмина — Шлихтинга в несжимаемой жидкости, при  $k \rightarrow \infty$  стремится к постоянному значению  $\sqrt{2}/2$  согласно асимптотике

$$(3.2) \quad \omega_1 = -ik^2 + (\sqrt{2}/2)(1 - i) + \dots$$

Асимптотика же первого корня дисперсионного соотношения (2.3), справедливого в трансзвуковом диапазоне скоростей, гласит:

$$(3.3) \quad \omega_1 = -i(k^{3/3} + (1/3)K_\infty k + (1/3)K_\infty^2 k^{1/3}) + (\sqrt{2}/3)(1 - i)k^{1/6} + \dots$$

при условии, что  $k \rightarrow \infty$ , а величина  $K_\infty$  фиксирована. Как следует отсюда, инкремент  $\text{Re}\omega_1 \rightarrow \infty$  как  $\sqrt{2}k^{1/6}/3$ , хотя его рост при умеренных  $k$  проявляется слабо и не оказывает сколько-нибудь заметного влияния на вид кривых, изображенных на рис. 1.

Диктуемое асимптотикой (3.2) и (3.3) предельное поведение  $\text{Re}\omega_1$  противоречит известному факту, что при  $k \rightarrow \infty$  должен осуществляться переход к устойчивым колебаниям с экспоненциально убывающей амплитудой, хотя для несжимаемого пограничного слоя это противоречие выражено менее отчетливо. Переход связан с существованием второй пары критических значений частоты и волнового числа, соответствующих верхней ветви кривой нейтральной устойчивости. Для несжимаемой жидкости асимптотический анализ волн, принадлежащих окрестности этой ветви, выполнен в [11, 12]. Он базируется на более сложной структуре возмущений, ведущей к перенормировке как независимых переменных, так и искомых функций. Последнее обстоятельство позволяет установить масштабы упомянутой второй пары критических значений частоты и волнового числа, вычислить эти величины [13] и продолжить формулу (3.2) в окрестность верхней ветви нейтральной кривой при помощи метода сращивания асимптотических разложений. Аналогичный анализ требуется проделать для трансзвукового диапазона скоростей, но развитие неустойчивых пульсаций с характерными временами и длинами, задаваемыми соотношениями (1.1), будет определяться ярко выраженным максимумом  $\text{Re}\omega_1$  при  $k \sim 3 \div 4$  (см. рис. 1).

Оценим в заключение диапазон чисел Маха, в котором применима изложенная теория. Пусть  $v^*$  — частота в исходной системе единиц

измерения, а  $\nu$  — безразмерная частота, нормированная посредством

$$\nu = (\nu^* L^* / U_\infty^*) \varepsilon^2 C^{1/4} \lambda^{-3/2} (T_w^* / T_\infty^*) \omega_*'^{-1}.$$

Последняя удобна тем, что ее значение  $\nu_*$  для нейтральных колебаний, распространяющихся в дозвуковом пограничном слое с  $M_\infty < 1$ , будет [6, 7]

$$(3.4) \quad \nu_* = (1 - M_\infty^2)^{1/4}.$$

Как показывает простая проверка, эта величина совпадает в силу преобразования (1.8) для времени с предписываемым первой из формул (3.1) пределом  $\omega_*$ , к которому стремится при  $K_\infty \rightarrow -\infty$  рассматривавшаяся выше частота  $\omega_0$ . Из определения (1.13) видно, что  $K_\infty \rightarrow -\infty$ , когда разность  $1 - M_\infty^2$  положительна и фиксирована, а параметр  $\varepsilon \rightarrow 0$ . Таким образом, критическая частота колебаний, распространяющихся в трансзвуковом потоке, с уменьшением  $K_\infty$  сопрягается с критической частотой, вычисленной для дозвуковых течений. Вспоминая аффинные преобразования (1.9), можно убедиться, что аналогичное утверждение справедливо по отношению к компонентам вектора возмущенной скорости и избыточному давлению. Иными словами, смешанная производная  $\partial^2 \varphi_1 / \partial t \partial x$  в уравнении (1.12) становится пренебрежимо малой, если  $K_\infty \rightarrow -\infty$ .

Что касается скорости выхода частоты  $\nu_*$  на свои предельные значения, то она оценивается следующим образом. В трансзвуковом диапазоне скоростей

$$(3.5) \quad \nu_* = \Delta \omega_*(K_\infty), \quad K_\infty = (M_\infty^2 - 1) / \Delta^4, \\ \Delta = [4\varepsilon^2 C^{1/4} \lambda^{1/2} (T_w^* / T_\infty^*)]^{1/9}.$$

Параметр  $\varepsilon$  слабо меняется при варьировании  $R$ , в интересующем нас диапазоне чисел Рейнольдса ламинарно-турбулентного перехода можно считать  $\varepsilon \approx 0,2$ . Отношение  $T_w^* / T_\infty^*$  для термически изолированной пластинки подчиняется закону Крокко [14]

$$T_w^* / T_\infty^* = 1 + [(\kappa - 1) / 2] M_\infty^2,$$

т. е.  $T_w^* / T_\infty^* \rightarrow (\kappa + 1) / 2$  при  $M_\infty \rightarrow 1$  ( $\kappa$  — показатель адиабаты Пуассона). Положим, что пластинка обтекается воздухом с  $T_\infty^* = 293$  К. Тогда  $\kappa = 1,4$ , а  $C \approx 0,79$ ; в результате получим  $\Delta \approx 0,778$ . Число Маха  $M_\infty$  пробегает значения от 0 до 2 при изменении параметра подобия  $K_\infty$  в интервале  $-2,73 \leq K_\infty \leq 8,19$ , отсюда видно, что достичь предела  $K_\infty \rightarrow -\infty$  в практических условиях невозможно.

Кривые, изображающие зависимости (3.4) и (3.5), помечены на рис. 2 цифрами 1 и 2 соответственно. Хотя с уменьшением  $M_\infty$  они сближаются друг с другом, из-за конечной величины  $\varepsilon$  отличие между ними при  $M_\infty = 0$  составляет около 14 %. Выход критической частоты колебаний в трансзвуковом диапазоне скоростей на свою дозвуковую асимптотику совершается медленно. Напротив, выход на асимптотику  $\nu_* = \Delta^9 (\omega_*' / k_*')^2 / (M_\infty^2 - 1)$ , которая устанавливается второй из формул (3.1) для сверхзвукового пограничного слоя и показана на рис. 2 пунктиром, происходит весьма быстро. Уже при  $M_\infty = 1,5$  кривая 2 практически сливается с этим пунктиром.

Наиболее существенный результат развитой теории состоит в непрерывном переходе критической частоты (так же, как и остальных зависимостей) через пороговое значение  $M_\infty = 1$ . Область ее применимости охватывает, таким образом, широкий диапазон дозвуковых и умеренных сверхзвуковых скоростей. Дополнительный источник ошибок вносится в теорию при вычислении частоты  $\omega_*$  нейтральных колебаний пограничного слоя в несжимаемой жидкости по предельному значению, когда  $R \rightarrow \infty$ . Этот источник следует иметь в виду, сопоставляя предсказания асимптотической теории с данными измерений в аэродинамических трубах [15].

## ЛИТЕРАТУРА

1. Нейланд В. Я. К теории отрыва ламинарного пограничного слоя в сверхзвуковом потоке // Изв. АН СССР. МЖГ.— 1969.— № 4.
2. Stewartson K., Williams P. G. Self-induced separation // Proc. Roy. Soc. London. Ser. A.— 1969.— V. 312, N 1509.
3. Messiter A. F. Boundary-layer flow near the trailing edge of a flat plate // SIAM J. Appl. Math.— 1970.— V. 18, N 1.
4. Smith F. T. Steady and unsteady boundary-layer separation // Annual Rev. Fluid Mech.— Palo Alto, Calif., 1986.— V. 18.
5. Сычев В. В., Рубан А. И., Сычев Вик. В., Королев Г. Л. Асимптотическая теория отрывных течений.— М.: Наука, 1987.
6. Рыжов О. С., Терентьев Е. Д. О переходном режиме, характеризующем запуск вибратора в дозвуковом пограничном слое на пластинке // ПММ.— 1986.— Т. 50, вып. 6.
7. Ryzhov O. S., Terent'ev E. D. Vortex spots in the boundary layer // Fluid Dynam. Trans.— Warszawa, 1987.— V. 13.
8. Рыжов О. С., Савенков И. В. Асимптотическая теория волнового пакета на пластинке // ПММ.— 1987.— Т. 51, вып. 5.
9. Рыжов О. С., Савенков И. В. Пространственные возмущения, вносимые гармоническим осциллятором в пограничном слое на пластинке // ЖВММФ.— 1988.— Т. 28, № 4.
10. Ryzhov O. S. Asymptotic methods in transonic flow theory // Proc. IUTAM Symp. Transsonicum III, Göttingen, 1988.— Berlin et al.: Springer, 1989.
11. Жук В. И., Рыжов О. С. Об асимптотике решений уравнения Орра — Зоммерфельда, задающих неустойчивые колебания при больших значениях числа Рейнольдса // ДАН СССР.— 1983.— Т. 268, № 6.
12. Жук В. И. Об асимптотике решений уравнения Орра — Зоммерфельда в областях, примыкающих к двум ветвям нейтральной кривой // Изв. АН СССР. МЖГ.— 1984.— № 4.
13. Bodonyi R. J., Smith F. T. The upper branch stability of the Blasius boundary layer, including non-parallel flow effect // Proc. Roy. Soc. London. Ser. A.— 1981.— V. 375, N 1760.
14. Stewartson K. The theory of laminar boundary layers in compressible fluids.— Oxford: Clarendon Press, 1964.
15. Козлов В. В., Рыжов О. С. Восприимчивость пограничного слоя: асимптотическая теория и эксперимент // Сообщения по прикладной математике.— М.: ВЦ АН СССР, 1988.

г. Москва

Поступила 8/VI 1989 г.

УДК 532.526

Г. И. Бурдэ

### ОБ ОДНОМ АВТОМОДЕЛЬНОМ РЕШЕНИИ УРАВНЕНИЙ ПОГРАНИЧНОГО СЛОЯ

Рассматривается один из случаев, когда решение уравнения Фокнера — Скэн и его осесимметричного аналога получается в замкнутой форме.

1. Для стационарного ламинарного пограничного слоя несжимаемой жидкости со степенным распределением скорости на внешней границе слоя  $U = cx^m$  при задании выражений для компонент скорости  $u$  и  $v$  в виде

$$(1.1) \quad u = cx^m f'(\eta), \quad v = -\sqrt{c\alpha} x^\gamma \left( f + \frac{\gamma}{\alpha} \eta f' \right),$$

$$\eta = \sqrt{ac/\nu} x^\gamma, \quad \alpha = (m+1)/2, \quad \gamma = (m-1)/2$$

приходим к известному уравнению Фокнера—Скэн [1]

$$(1.2) \quad f''' + ff'' = \beta(f'^2 - 1), \quad \beta = 2m/(m+1)$$

при граничных условиях

$$(1.3) \quad f = f_0, \quad f' = 0(\eta = 0), \quad f' = 1(\eta = \infty),$$